

V-151 高応力繰り返しを受けるRC部材の挙動について

中部工業大学

正員 平澤 征夫

正員 爽知 五男

学生員 ○ 杉田 朝

1. まえがき 本報告では、複合材料としての鉄筋コンクリートの力学的挙動に関する基礎的研究の一つとして上界荷重が最大強度の80%以上の時の定荷重高応力繰り返し載荷を受ける柱および梁の挙動を調べた結果について述べる。この前刷りでは、主として、柱の試験結果について述べる。

2. 実験方法 (本実験の概要を表1, 2に示す。) 2.1) 供試体の形状・製作; 柱の形状は図1に示す。配合は、柱、梁共に一種類の同一のものを使用した(表3)。骨材は、木曾川産の砂利を用い、柱、梁の主鉄筋はD10, D16を使用した。また、柱、梁の主鉄筋比は各々0.0127, 0.0126であった。供試体は、柱・梁共に材令3日目に脱型後、室内養生を行った。載荷試験は、柱は材令29~31日目に、梁は材令29~30日目に実施した。2.2) 載荷および測定方法; 供試体の載荷には、柱・梁共に、300-100Ton構造物試験機を用い、以下に述べる載荷方法で実験をした。柱の場合、(1) 静的圧縮および引張載荷; 載荷軸方向ひずみを単調に増加させ、荷重(P)-ひずみ(E)(以下、P-Eと略記)を測定し、最大荷重を求めた。(2) 圧縮および引張り繰り返し載荷; 上界荷重を一定((1)の試験で得られた静的最大荷重の80, 85, 90%)として、下界荷重(圧縮5.0Ton, 引張1.0Ton)として載荷・除荷を繰り返した。(3) 両振り繰り返し載荷; 静的圧縮最大荷重の80, 85, 90%を上界荷重とし、下界応力を静的引張最大荷重の80, 85, 90%として、繰り返し載荷を行なった。梁の場合も柱と同様な載荷方法とした。なお、繰り返しの一周期を片振りの時2分±10秒、両振りの時3分±10秒とした。また、(2)(3)の繰り返し目標回数は100回とし、100回繰り返しを行なって供試体が破壊しない時には10サイクル目で破壊に至るまで載荷を行なった。

3. 実験結果とその考察 3.1) 図2-3の説明; 各々の図(a)は、圧縮(又は、引張)繰り返し載荷のP-E曲線を示し、図中のA-A線は下界荷重、B-B線は(上界荷重+下界荷重)/2の荷重(以下、中間荷重と呼ぶ)、C-C線は上界荷重を示す。図(b)は、上界、中間、下界荷重の各々との繰り返し回数(N)との関係を示す。図(c)は、静的載荷と100回繰り返した後に破壊まで載荷する10サイクル目のP-E関係を示す。図(d)は、各々の繰り返しサイクル時の傾き(弾性係数=($\epsilon_0 - \epsilon_1$)/($\sigma_0 - \sigma_1$))の変化を示す。以下、三荷重レベル(80, 85, 90%)の比較検討を行なう。3.2) 柱の圧縮繰り返し試験結果; 図2(a)は85%のP-E関係を示す。図(b)の上界荷重のE-N曲線を見ると、80, 90%は40サイクル付近から定常状態になっているが、85%のE-Nは、Nが大になるに従って80%の曲線の領域から90%の曲線領域の方に移動して約100サイクル付近でEがほぼ90%と等しくなる。中間荷重のE-N曲線は、各荷重レベルニ本づつあるが、上方の柱載荷時の、下方のか除荷時のE-N曲線である。図より10サイクル付近以後から、80, 85, 90%各々の中間荷重の載荷時と除荷時のEの差の変化がほとんどなく、80, 85, 90%各々の5サイクル以後のEの差を平均すると、

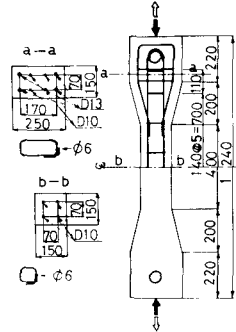


図1. 柱の形状

表1. 梁の実験概要および諸強度

シグ名	供試体記号	載荷方法	A静的試験 荷重(Ton)	B静的試験 荷重(Ton)	B/A
80%	B-C-01	静的圧縮載荷	7.30	—	—
△	B-C-02	圧縮繰り返し	—	7.00	0.96
△	B-W-80	引張繰り返し	—	70.72±0.72	—
85%	B-C-02	静的圧縮載荷	6.90	—	—
△	B-C-85	圧縮繰り返し	—	6.10	0.88
△	B-W-85	引張繰り返し	—	76.91±0.91	—
90%	B-C-03	静的圧縮載荷	6.70	—	—
△	B-C-90	圧縮繰り返し	—	57.77±0.77	—
△	B-W-90	引張繰り返し	—	51.42±0.42	—

表2. 柱の実験概要および諸強度

シグ名	供試体記号	載荷方法	A静的試験 荷重(Ton)	B静的試験 荷重(Ton)	B/A
正規	C-01	静的圧縮載荷	83.8	—	—
△	C-02	圧縮繰り返し	85.5	—	—
△	C-80	引張繰り返し	—	100.0	1.18
△	C-85	—	—	89.7	1.06
△	C-90	—	—	89.0	1.17
引張	C-T-01	静的圧縮載荷	15.0	—	—
△	C-T-02	圧縮繰り返し	15.5	—	—
△	C-T-80	引張繰り返し	—	15.5	1.02
△	C-T-85	—	—	15.4	1.01
△	C-T-90	—	—	15.6	1.02
両振り	C-W-01	静的圧縮載荷	98.0	—	—
△	C-W-02	—	99.5	—	—
△	C-W-03	静的圧縮載荷	16.2	—	—
△	C-W-80	引張繰り返し	—	6.5**	—
△	C-W-85	—	—	—	—
△	C-W-90	—	—	2.0**	—

表3. コンクリートの示方配合

配合料のスパン 長さ(寸法) (mm)	SL (cm)	セメント 量(kg)	水セメント 比(W/C) (%)	細骨材 率(%)	単位 量(kg/m ³)
20	7.1	15.1	47	44	185

セメント C
細骨材 S
粗骨材 G

W C S G

1394 757 1001

$36.8, 38.8, 39.4 \times 10^6$ となり、このことから、上界荷重レベルが大きいほどP-E線図の各サイクルの履歴曲線の幅(反ち、面積)が大きくなると言える。図(C)から、80, 85, 90%各々、100回繰返した後のP-E曲線は三曲線ともに類似している。単純静的圧縮載荷と、それら三曲線とのP-E曲線を85Tonまでの曲線で囲まれた面積を比べると約1:0.8であった。また、繰返し試験後の強度を表2から検討すると、単純静的載荷に比べて6~18%の強度の増加が見られる。図(D)から、80, 85%各々の10サイクル、3サイクルから弾性係数の低下が見られるが、90%では、上界荷重時のひずみと下界時のひずみの増加がほぼ同程度の準安定領域に達しているものと思われ、弾性係数の低下は見られない。以上の試験結果を総括すると、強度的には、単純静的載荷と比べて、幾分高いが、軟性という面からは、80, 85, 90%共に、同程度に低下している。剛性という面からは、80%, 85%では、荷重レベルとNに対応して85%の方が低いが、90%は、残留ひずみと、上界ひずみの増加が同程度になって結果的に定常状態になっている。

3.3)柱の引張繰返し試験結果:図3(a)は、85%のP-E関係を示す。図(b)から、下界荷重時のEの進行状況をみると、80, 85%各々10サイクル目と2サイクル目のEの量を比較すれば、0.70, 0.85となり1サイクル目で試験全過程に蓄積するEの大半を生じ、90%では、80, 85%と同じく1サイクル目で大半の残留ひずみを生じるが、20サイクル以後から、Eの増加が、上界、中間、下界荷重、共に、Nの増加と比例して増加する。80, 85%では、各々40, 20サイクルで、上界、中間、下界荷重時のEの増加がほぼ止まり定常状態になる。図(C)から、101サイクル目の80, 85, 90%の曲線を見ると、各々の上界荷重以下ではEの目立った増加はなく、上界荷重を越えた時点からEの変化が生じ、単純静的試験と比べて崩壊が約50%程度Eが小さい時点で始まる。また、単純静的試験に対する10サイクル目のP-E曲線の面積(-15Ton迄)を比べると、 $80\% \rightarrow 0.26, 85\% \rightarrow 0.18, 90\% \rightarrow 0.13$ であり上界荷重が大きい程、軟性が低下することがわかる。また、崩壊性状は、80, 85, 90%共に、1サイクル目の載荷過程で、ほぼコンクリートと鉄筋の付着が切れ2サイクル目からは、鉄筋のみで引張力に抵抗しているようである。

3.4)柱の両振り試験結果:図4に示すように、80, 85, 90%各々、2サイクル目の圧縮過程の初期に破壊した。崩壊過程を見ると、1サイクル目の引張過程でコンクリートと鉄筋の付着が切れて、2サイクル目の圧縮過程の初期段階で鉄筋が座屈するように折れ曲り、同時にコンクリートをはじき飛ばすように供試体の中央部分が破壊した。このように、柱は、圧縮→引張の繰返し荷重に非常に弱いことがわかる。梁の試験結果は、図4柱の両振り試験当日、発表する予定である。

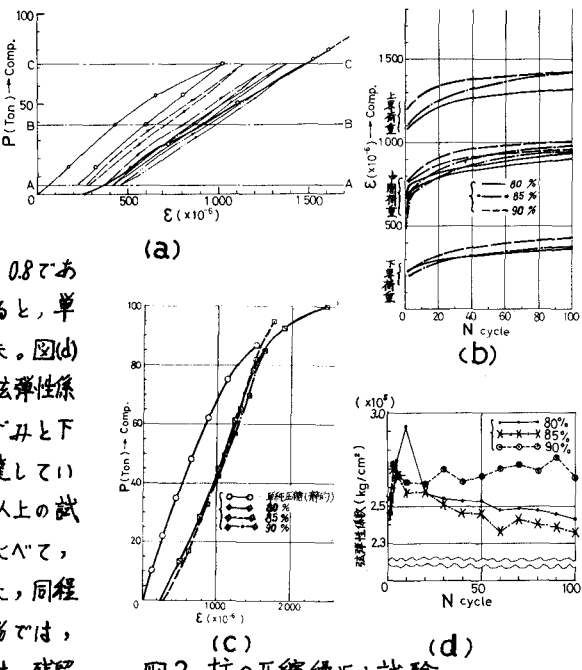


図2. 柱の圧縮繰返し試験

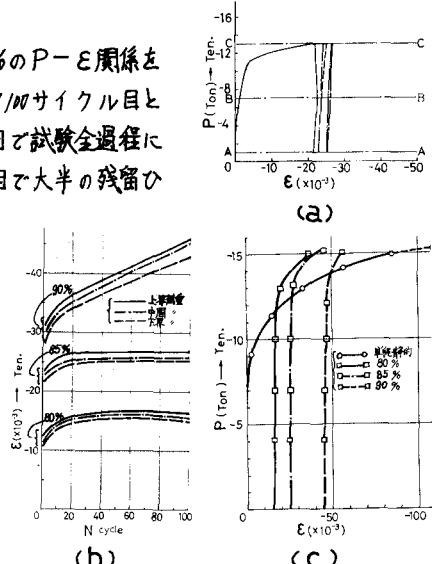


図3. 柱の引張繰返し試験

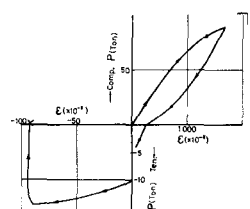


図4. 柱の両振り試験